

Низкий уровень цАМФ и АТФ в ишемическом миокарде определяет нарушения энергообеспечения и регуляции работы Са насоса мембран СР.

Важное значение в транспорте кальция имеет соотношение электролитов в клетке. Установлено, что чем выше величина Na/K , тем ниже эффективность работы Ca^{2+} -АТФазы мембран СР. Следовательно, резкое снижение градиента K_i/Na , установленное нами в левом желудочке сердца при его частичной ишемии, может оказывать существенное влияние на способность мембран СР к транспорту и аккумуляции ионов кальция. Изменение соотношения электролитов в сторону накопления внутриклеточного Na нарушает функцию Na/Ca обменного механизма.

На этом фоне угнетение Ca^{2+} -транспортирующих и Ca^{2+} -аккумулирующих свойств мембран СР может рассматриваться как одна из причин увеличения внутриклеточного содержания кальция, что может влиять на метаболизм сердечной мышцы, нарушать процессы сокращения и, в особенности, расслабления миокарда.

Украинский институт кардиологии,
Киев

Поступила в редакцию
15.XII 1980 г.

УДК 616—005.4:612.04.464

О. А. Москвитина, А. В. Трубецкой

ДИНАМИКА НАПРЯЖЕНИЯ КИСЛОРОДА И СОКРАТИМОСТИ РАЗНЫХ СЛОЕВ МИОКАРДА ПРИ КРАТКОВРЕМЕННЫХ ИШЕМИЯХ

Взаимоотношения между регионарной перфузией миокарда и локальной сократительной функцией до сих пор не установлены. Эта проблема представляет особый интерес в условиях неадекватного кровоснабжения миокарда, так как имеет прямое отношение к ишемической болезни сердца. В условиях недостаточного кровоснабжения субэндокардиальные слои миокарда испытывают более значительную недоперфузию, чем субэпикардиальные, и чаще страдают от ишемии. Поэтому весьма актуально изучение соотношения напряжения кислорода (P_{O_2}) и сократительной активности разных слоев миокарда при локальной ишемии.

Методика исследований

На собаках со вскрытием грудной клеткой в условиях острого опыта регистрировали локальное P_{O_2} , сократимость сегмента миокарда, давление в левом желудочке, его первую производную, электрограмму сердца. P_{O_2} регистрировали полярографически. В качестве рабочих использовали золотые и платиновые электроды диаметром от 15 до 100 мкм, которые погружали в стенку левого желудочка на глубину, соответствующую субэпикардиальным (2 мм) и субэндокардиальным (7 мм) слоям. Локальную сократимость миокарда регистрировали модифицированными миниатюрными тензометрическими арочными датчиками типа Уолтон — Броуди с использованием кремниевых тензозлементов. Для регистрации сократимости поверхностных слоев миокарда датчики подшивали параллельно большой оси сердца и поверхностью волокнам, сократимость внутренних слоев регистрировали, ориентируя датчики перпендикулярно большой оси сердца и глубоко прошивая миокард (см. рисунок). Левую нисходящую коронарную артерию в нижней трети или ее веточки пережимали на 30—180 с. Исследуемые показатели сравнивали с исходными, изменения выражали в процентах.

Результаты исследований

Как видно из табл. 1, значительное уменьшение сократительной функции миокарда наступало в первые 5—10 с после начала окклюзии, P_{O_2} снижалось более плавно. В субэндокардиальном слое миокарда в большей части экспериментов наблюдали более выраженное, чем в субэпикардиальном слое, снижение измеряемых параметров. В

Динамика напряжения кислород

части экспериментов в субэндокарде и появление парадоксальной снижалось до $32 \pm 9,1\%$ от исходного

Возобновление перфузии исходных показателей P_{O_2} и сок

Схема расположения датчиков электродов на сердце.
Тензометрический датчик для регистрации сократимости субэндокардиальных (1) и субэпикардиальных (2) слоев миокарда; электрод для полярографической регистрации напряжения лорода в миокарде (3). ОКА — огибающая ветвь левой коронарной артерии НКА — нисходящая ветвь левой коронарной артерии, ЭГ — электроды регистрации электрограммы сердца ДЛЖ — датчик для регистрации сократимости в левом желудочке. Стрелка обозначено место пережатия коронарной артерии.

после восстановления перфузии на исходный уровень. Динамика восстановления аналогичной, однако, исходный

Изменение локального

Время с начала ишемии, с	Локальная сократимость миокарда, $M \pm m$
10	83,84 ± 1,14
20	75,17 ± 1,44
30	71,0 ± 1,78
60	67,44 ± 1,9
120	72,43 ± 1,31
180	73,0 ± 4,62
10	70,13 ± 3,67
20	68,71 ± 2,85
30	66,2 ± 2,31
60	62,77 ± 3,73
120	63,33 ± 4,02
180	64,4 ± 4,55

В субэндокарде сократимость его превышения. Время достоверного различия существенно не отличалось, сократимости зависела от длительности ишемии, чем в субэндокардиальном слое на давление в левом желудочке и ритм не наблюдалась.

том миокарде определяет нарушения мембран СР.

т соотношение электролитов в клетке ниже эффективность работы Ca^{2+} -кальций градиента K_i/Na_i , установленной ишемии, может оказаться существенным и аккумуляции ионов кальция накопления внутриклеточного Na_i .

дих и Ca^{2+} -аккумулирующих свойств причин увеличения внутриклеточного олиза сердечной мышцы, нарушать я миокарда.

Поступила в редакцию
15.XII 1980 г.

Трубецкой Я КИСЛОРОДА СЛОЕВ МИОКАРДА ИХ ИШЕМИЯХ

ней миокарда и локальной сократимости проблема представляет особый интерес миокарда, так как имеет прямое отношение к недостаточному кровоснабжению более значительную недоперфузию, чем в норме. Поэтому весьма актуально изучение

зовиях острого опыта регистрировали давление в левом желудочке, его регистрировали полярографически. В эти электроды диаметром от 15 до 30 мк на глубину, соответствующую (7 мм) слоям. Локальную сократимость миниатюрными тензометрическими использованием кремниевых тензоструйных слоев миокарда датчики сжатием рыхностным волокнам, сократимость инициатор перпендикулярно большой оси. Левую нисходящую коронарную и на 30—180 с. Исследуемые показаны в процентах.

е сократительной функции миокардии, P_{O_2} снижалось более плавно. Части экспериментов наблюдали бо-

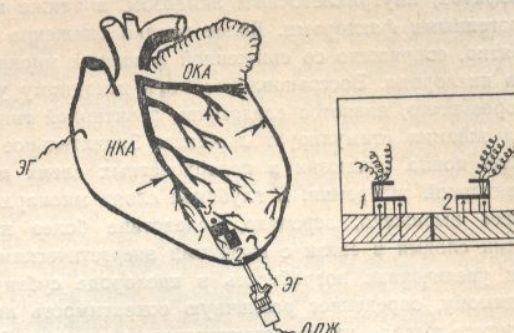
Динамика напряжения кислорода

части экспериментов в субэндокарде наблюдали акинезию ишемизированного сегмента и появление парадоксальной пульсации на 10—15 с окклюзии, P_{O_2} в этих случаях уменьшалась до $22 \pm 9.1\%$ от исходного уровня к 3 мин окклюзии.

Возобновление перфузии в ишемизированный сегмент вело к восстановлению исходных показателей Ра_т и сократимости миокарда (табл. 2). Напряжение кислорода

Схема расположения датчиков и электродов на сердце.

Тензометрический датчик для регистрации сократимости субэндокардиальных (1) и субэпикардиальных (2) слоев миокарда; электрод для полярографической регистрации напряжения кислорода в миокарде (3). ОКА — огибающая ветвь левой коронарной артерии, НКА — нисходящая ветвь левой коронарной артерии, ЭГ — электроды для регистрации электрограммы сердца, ДЛЖ — датчик для регистрации давления в левом желудочке. Стрелкой обозначено место пережатия коронарной артерии.



после восстановления перфузии во всех слоях миокарда несколько превышало исходный уровень. Динамика восстановления сократимости субэпикардиальных слоев была

Таблица 1

Изменение локального напряжения кислорода и сократимости миокарда в ходе развития ишемии

В ходе развития инфаркта				
Время с начала инфаркта, с	Локальная сократимость миокарда, $M \pm m$, %	n	Локальное P_{O_2} , $M \pm m$, %	n
Субэпикард				
10	83,84 \pm 1,14	25	94,64 \pm 0,89	22
20	75,17 \pm 1,44	23	84,70 \pm 1,99	23
30	71,0 \pm 1,78	20	80,71 \pm 2,31	20
60	67,44 \pm 1,9	16	72,13 \pm 3,39	16
120	72,43 \pm 1,31	7	66,14 \pm 5,05	7
180	73,0 \pm 4,62	6	65,7 \pm 3,92	6
Субэндокард				
10	70,13 \pm 3,67	15	88,07 \pm 3,39	14
20	68,71 \pm 2,85	14	83,19 \pm 3,12	16
30	66,2 \pm 2,31	14	78,0 \pm 3,28	14
60	62,77 \pm 3,73	13	69,62 \pm 3,17	13
120	63,33 \pm 4,02	6	61,0 \pm 4,02	6
180	64,4 \pm 4,55	5	51,8 \pm 4,37	5

В субэндокарде сократимость восстанавливалась к исходному уровню практически без его превышения. Время достижения исходного уровня сократимости и P_{O_2} в разных слоях существенно не отличалось. Степень превышения исходных значений P_{O_2} и сократимости зависела от длительности ишемии и была в субэпикардиальных слоях больше, чем в субэндокардиальных. Значительного влияния пережатия коронарной артерии на давление в левом желудочке, первую производную внутрижелудочкового давления и пульс не наблюдалась.

Обнаруженное более резкое снижение сократительной активности миокарда по сравнению со снижением P_{O_2} , по крайней мере, в первые моменты ишемии, согласуется с литературными данными. Снижение сократимости в начале ишемии может быть обусловлено рядом факторов: нарушением электромеханического сопряжения за счет изменения проницаемости клеточных мембран, уменьшением запасов макроэнергических фосфатов, внутриклеточным ацидозом, а также механическими и связанными с ними миогенными факторами. Более плавно снижение P_{O_2} в первые моменты ишемии, вероятно, сопряжено со сниженной функцией миокарда и утилизацией эндогенных запасов кислорода. Восстановление P_{O_2} к исходному уровню и его временное превышение, скорее всего, является следствием реактивной гиперемии. Известно, что кратковременная ишемия стимулирует дыхание. Значительное превышение исходного уровня P_{O_2} после конца окклюзии в поверхностных слоях миокарда свидетельствует о высокой реактивной гиперемии. В глубоких слоях миокарда превышение исходного уровня P_{O_2} менее выражено, вероятно, вследствие более интенсивного потребления кислорода этими слоями в связи с высокими энергетическими затратами на их сокращение. Такая увеличенная потребность в кислороде субэндокардиальных слоев миокарда, по-видимому, определяет различную сократимость поверхностных и глубоких слоев и в процессе выхода их из ишемического состояния. Усиление метаболизма после кратковременной ишемии и повышение доставки кислорода, более выраженные в субэндокардиальных слоях, ведут к превышению исходных величин сократимости поверхностных слоев миокарда. Меньшая выраженность или отсутствие этого явления в глубоких слоях миокарда указывает на значительную напряженность сократительных и энергетических процессов в субэндокарде.

Таблица 2
Время восстановления локального напряжения кислорода и сократимости миокарда до исходного уровня в процессе реинфузии

Длительность ишемии, с	Время восстановления до 100 %, с		Длительность превышения исходного уровня, с		% превышения исходного уровня	
	сократимость	P_{O_2}	сократимость	P_{O_2}	сократимость	P_{O_2}
Субэндокард						
30	50,33±2,91	45,00±3,27	43,33±1,67	80,83±5,23	21,0±4,32	5,17±1,64
180	120,5±2,14	117,5±3,35	183,33±8,43	150,00±22,91	20,5±1,71	26,36±4,31
Субэндокард						
30	50,83±5,54	39,67±2,11	—	90,00±9,62	—	6,00±0,93
180	128,0±4,77	90,33±4,01	—	60,0±7,75	—	10,33±1,09

Разнородность ответов P_{O_2} и сократимости субэндокардиальных слоев миокарда на ишемию объясняется, по-видимому, большой вариабельностью анатомического строения коронарного русла, а также наличием довольно крупных межартериальных анастомозов.

Полученные данные дают возможность количественно охарактеризовать функциональное повреждение миокарда при локальной ишемии и восстановление оксигенации и функции миокарда в процессе выхода из нее для субэндокардиальных и субэндокардиальных слоев.

Всесоюзный кардиологический научный центр АМН СССР, Москва

Поступила в редакцию
29.IV 1980 г.

Диффузионная способность

УДК 616—005.4:612.135

Л. И. Серебрякова, Е. М. Г

ДИФФУЗИОННАЯ СОСПОСЛЯ СЕРДЦА

Проблема ишемической боли между доставкой и потребностью следствием разных причин. Так, расширительного сосудистого рез нее стеноза. На этом фоне сочетаются сердечных сокращений (ЧСС), торов будет приводить к ишемизации

В выяснении механизмов и эффективности обменной функции способности капиллярного русла сердца реином тахикардия и снижение ного кровотока уменьшают диффузированном сердце, работающемущающимся без нагрузки, получены

В настоящем исследовании способность капиллярного русла сердца, введенном введение изопротеренола на

Мет

Определение количественного индекса PS (проницаемости) двойным индикаторным методом, использующий и ^{208}Tl — диффундирующую радиоизотопом, одновременно в соотношении проб крови из венозного коронарного пробы в секунду. Экстракцию (периментально полученных величин

E = —

где $[D]_a$ и $[D]_v$ — концентрации низкой крови соответственно; $[O]$ катетера в артериальной и венозной формуле $PS = -Q \ln(1-E)$, где эксперименты проводили на беспородных (25 мг/кг) с предварительным введением. Кровь из бедренной артерии и суд с манометром (см. рисунок), извольно менять перфузционное давление катетеру в левую коронарную артерию кровоток измеряли шариков перфузируемой области отводили тетеризацию венозного синуса и ронно-оптического преобразователя. Время опыта регистрировали кор в аорте, кривую внутрижелудочковой коронарной крови и две серии опытов. В 1 серии (с введением изопротеренола со стабилизацией коронарного кровотока) изопротеренола сочетали со стабилиза-